

Elaboration d'une méthode différentielle pour l'étude des fibres optiques microstructurées

Philippe BOYER

Institut Fresnel

06 octobre 2006

Table des matières

- 1 Introduction
 - La méthode différentielle
 - Les fibres optiques microstructurées
- 2 La Méthode Différentielle en coordonnées cylindriques
 - Principe de la méthode différentielle
 - La méthode de la Factorisation de Fourier rapide
 - L'algorithme de propagation de la matrice S
 - Le problème de recherche de modes
- 3 Application numérique pour l'étude des FOMs
 - Validation
 - Etude de FOMs de type ARROW
- 4 Conclusion

Table des matières

- 1 Introduction
 - La méthode différentielle
 - Les fibres optiques microstructurées
- 2 La Méthode Différentielle en coordonnées cylindriques
 - Principe de la méthode différentielle
 - La méthode de la Factorisation de Fourier rapide
 - L'algorithme de propagation de la matrice S
 - Le problème de recherche de modes
- 3 Application numérique pour l'étude des FOMs
 - Validation
 - Etude de FOMs de type ARROW
- 4 Conclusion

Deux objectifs

Premier objectif

Développer la méthode différentielle en coordonnées cylindriques



Première année de thèse :

Etude de la diffraction par des objets cylindriques

Deux objectifs

Premier objectif

Développer la méthode différentielle en coordonnées cylindriques

- 👉 **Première année de thèse :**
Etude de la diffraction par des objets cylindriques

Deuxième objectif

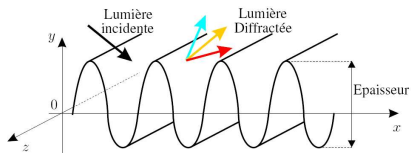
Etudier la propagation des modes dans les fibres optiques

- 👉 **Deuxième et troisième années de thèse :**
Application aux **fibres optiques microstructurées**

La Méthode Différentielle

● **Années 60** : Développement de la Méthode Différentielle

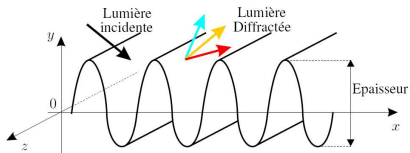
- ☞ *Objectif* : Modéliser rigoureusement la diffraction de la lumière par des **objets périodiques**
- ☞ *Application* : **réseaux** (en **coordonnées cartésiennes**)



La Méthode Différentielle

- **Années 60** : Développement de la Méthode Différentielle

- ☞ *Objectif* : Modéliser rigoureusement la diffraction de la lumière par des **objets périodiques**
- ☞ *Application* : **réseaux** (en **coordonnées cartésiennes**)



Milieu des années 70 :

Méthode Différentielle en **coordonnées cylindriques** (polarisations TE et TM)

Appellations :

- ☞ **Méthode Différentielle "Classique"**

- **Milieu des années 70** : Premiers résultats numériques

MAIS des problèmes numériques subsistent dans certains cas

- 1 **Instabilités numériques** pour des réseaux profonds
- 2 **Convergence lente** des résultats en polarisation TM (réseaux métalliques)

- **Milieu des années 70** : Premiers résultats numériques

MAIS des problèmes numériques subsistent dans certains cas

- 1 **Instabilités numériques** pour des réseaux profonds
- 2 **Convergence lente** des résultats en polarisation TM (réseaux métalliques)

- **Fin des années 90** : Deux types de solutions indépendantes et complémentaires aux problèmes numériques

Algorithme de propagation de la matrice S

Assure la stabilité numérique pour des réseaux profonds

Méthode de la Factorisation de Fourier rapide

Assure la convergence des résultats quelle que soit la polarisation

- **Milieu des années 70** : Premiers résultats numériques

MAIS des problèmes numériques subsistent dans certains cas

- 1 **Instabilités numériques** pour des réseaux profonds
- 2 **Convergence lente** des résultats en polarisation TM (réseaux métalliques)

- **Fin des années 90** : Deux types de solutions indépendantes et complémentaires aux problèmes numériques

Algorithme de propagation de la matrice S

Assure la stabilité numérique pour des réseaux profonds

Méthode de la Factorisation de Fourier rapide

Assure la convergence des résultats quelle que soit la polarisation

Appellations :

- ☞ *Algorithme de propagation de la matrice S* → *Algorithme S*
- ☞ *Méthode de la Factorisation de Fourier rapide* → *Méthode FFF*
(*"Fast Fourier Factorization"*)

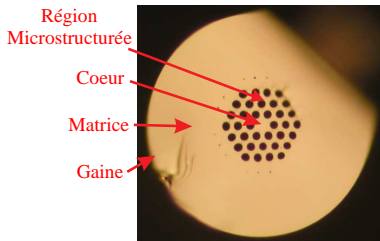
- **Depuis 2000 :**
NOUVELLE VERSION de la Méthode Différentielle
→ Algorithme S + Méthode FFF

Développements dans divers systèmes de coordonnées

- ☞ **Coordonnées cartésiennes :**
Diffraction par des réseaux et cristaux photoniques
- ☞ **Coordonnées cylindriques :**
Diffraction par des cylindres. Propagation des modes dans les FOMs
- ☞ **Coordonnées sphériques :**
Diffraction par des objets tridimensionnels

Les fibres optiques microstructurées (FOMs)

FOM fabriquée en laboratoire



FOM en verre chalcogénure fabriquée à l'Université de Rennes

Section droite de la fibre

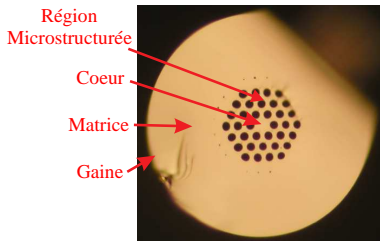
- Gaine
- Matrice
- Région microstructurée
- Coeur

Axe

de longueur finie

Les fibres optiques microstructurées (FOMs)

FOM fabriquée en laboratoire



FOM en verre chalcogénure fabriquée à l'Université de Rennes

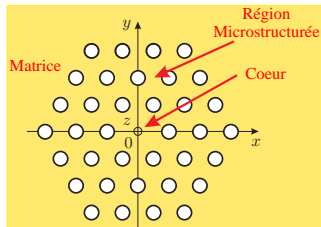
Section droite de la fibre

- Gaine
- Matrice
- Région microstructurée
- Coeur

Axe

de longueur finie

FOM modélisée



Section droite de la fibre

- Absence de gaine
- Matrice
- Région microstructurée
- Coeur

Axe

de longueur infinie

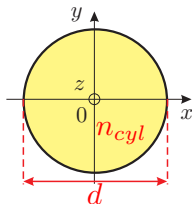
Intérêt des FOMs

- Contrôler le **caractère monomode** de la fibre
- Contrôler l'**aire effective des modes** (confinement)
- Contrôler la **dispersion modale** tout en limitant les **pertes des modes**

Intérêt des FOMs

- Contrôler le **caractère monomode** de la fibre
- Contrôler l'**aire effective des modes** (confinement)
- Contrôler la **dispersion modale** tout en limitant les **pertes des modes**

Fibre optique conventionnelle à saut d'indice



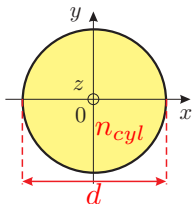
Paramètres opto-géométriques

- Indice de réfraction du cylindre
- Diamètre du cylindre

Intérêt des FOMs

- Contrôler le **caractère monomode** de la fibre
- Contrôler l'**aire effective des modes** (confinement)
- Contrôler la **dispersion modale** tout en limitant les **pertes des modes**

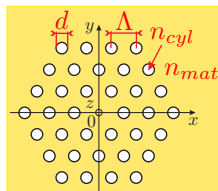
Fibre optique conventionnelle à saut d'indice



Paramètres opto-géométriques

- Indice de réfraction du cylindre
- Diamètre du cylindre

Fibre optique microstructurée



Paramètres opto-géométriques

- Indices de réfraction des inclusions
- Diamètre des inclusions
- Distance entre les inclusions ("pitch")
- Nombre de couches d'inclusions

Table des matières

- 1 Introduction
 - La méthode différentielle
 - Les fibres optiques microstructurées
- 2 La Méthode Différentielle en coordonnées cylindriques
 - Principe de la méthode différentielle
 - La méthode de la Factorisation de Fourier rapide
 - L'algorithme de propagation de la matrice S
 - Le problème de recherche de modes
- 3 Application numérique pour l'étude des FOMs
 - Validation
 - Etude de FOMs de type ARROW
- 4 Conclusion

Problématique : changement de système de coordonnées

coordonnées cartésiennes (x, y, z) → coordonnées cylindriques (r, θ, z)

Problématique : changement de système de coordonnées

coordonnées cartésiennes $(x, y, z) \rightarrow$ **coordonnées cylindriques** (r, θ, z)

Principe général de la méthode différentielle

☞ Réduire rigoureusement (sans approximation théorique) les **équations de l'électromagnétisme**

- **Maxwell-Faraday** : $\text{rot} \vec{E}(r, \theta, z, t) + \frac{\partial \vec{B}(r, \theta, z, t)}{\partial t} = \vec{0}$
- **Maxwell-Ampère** : $\text{rot} \vec{H}(r, \theta, z, t) - \frac{\partial \vec{D}(r, \theta, z, t)}{\partial t} = \vec{0}$
- **Relations constitutives linéaires des milieux** :
 $\vec{D}(r, \theta, z, t) = \vec{\epsilon} \vec{E}(r, \theta, z, t)$ et $\vec{B}(r, \theta, z, t) = \vec{\mu} \vec{H}(r, \theta, z, t)$

Problématique : changement de système de coordonnées

coordonnées cartésiennes $(x, y, z) \rightarrow$ **coordonnées cylindriques** (r, θ, z)

Principe général de la méthode différentielle

➡ Réduire rigoureusement (sans approximation théorique) les **équations de l'électromagnétisme**

- **Maxwell-Faraday** : $\vec{r} \otimes \vec{\nabla} \vec{E}(r, \theta, z, t) + \frac{\partial \vec{B}(r, \theta, z, t)}{\partial t} = \vec{0}$
- **Maxwell-Ampère** : $\vec{r} \otimes \vec{\nabla} \vec{H}(r, \theta, z, t) - \frac{\partial \vec{D}(r, \theta, z, t)}{\partial t} = \vec{0}$
- **Relations constitutives linéaires des milieux** :

$$\vec{D}(r, \theta, z, t) = \vec{\epsilon} \vec{E}(r, \theta, z, t) \text{ et } \vec{B}(r, \theta, z, t) = \vec{\mu} \vec{H}(r, \theta, z, t)$$

➡ à un **système différentiel linéaire du premier ordre** selon la variable r :

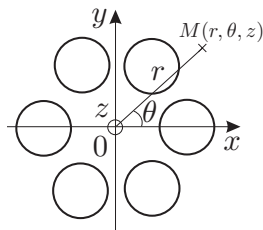
$$\frac{dF(r)}{dr} = \mathcal{M}(r)F(r)$$

où $F(r)$ dépendant des composantes du champ électromagnétique

Pourquoi ? Système différentiel **intégrable numériquement**

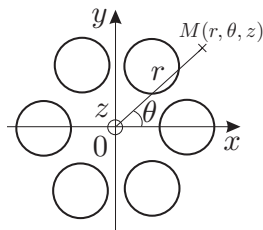
Expression du champ électromagnétique

- **Régime harmonique** :
Dépendance en $e^{-i\omega t}$ avec ω : pulsation
- **Invariance opto-géométrique selon l'axe z** :
Dépendance en $e^{i\beta z}$ avec β : constante ($\in \mathbb{C}$)
- **Périodicité opto-géométrique selon θ** (périodicité intrinsèque au système de coordonnées, de période 2π) :
Développement en série de Fourier



Expression du champ électromagnétique

- **Régime harmonique** :
Dépendance en $e^{-i\omega t}$ avec ω : pulsation
- **Invariance opto-géométrique selon l'axe z** :
Dépendance en $e^{i\beta z}$ avec β : constante ($\in \mathbb{C}$)
- **Périodicité opto-géométrique selon θ** (périodicité intrinsèque au système de coordonnées, de période 2π) :
Développement en série de Fourier



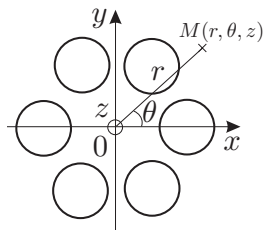
ESPACE DE FOURIER

$$U(r, \theta, z, t) = e^{i(\beta z - \omega t)} \sum_{n=-\infty}^{+\infty} U_n(r) e^{in\theta}$$

où U est une composante du champ électromagnétique.

Expression du champ électromagnétique

- **Régime harmonique :**
Dépendance en $e^{-i\omega t}$ avec ω : pulsation
- **Invariance opto-géométrique selon l'axe z :**
Dépendance en $e^{i\beta z}$ avec β : constante ($\in \mathbb{C}$)
- **Périodicité opto-géométrique selon θ** (périodicité intrinsèque au système de coordonnées, de période 2π) :
Développement en série de Fourier



ESPACE DE FOURIER

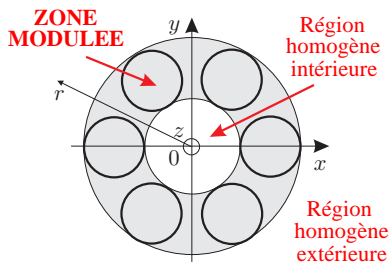
$$U(r, \theta, z, t) = e^{i(\beta z - \omega t)} \sum_{n=-\infty}^{+\infty} U_n(r) e^{in\theta}$$

où U est une composante du champ électromagnétique.

☞ Notation : $[U] = \begin{pmatrix} \vdots \\ U_n(r) \\ \vdots \end{pmatrix}$

Partage de l'espace en trois régions

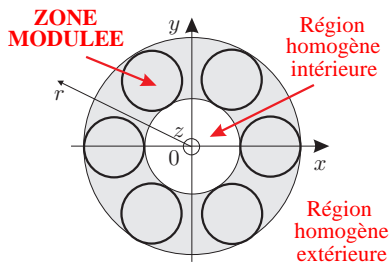
- **Deux régions homogènes :**
Expressions explicites des champs



Partage de l'espace en trois régions

- **Deux régions homogènes :**
Expressions explicites des champs
- **Zone modulée :**
Système différentiel à intégrer

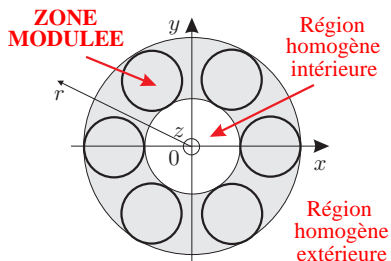
$$\frac{dF(r)}{dr} = \mathcal{M}(r)F(r) \text{ avec } F(r) = \begin{pmatrix} [E_\theta] \\ [E_z] \\ [H_\theta] \\ [H_z] \end{pmatrix}$$



Partage de l'espace en trois régions

- **Deux régions homogènes :**
Expressions explicites des champs
- **Zone modulée :**
Système différentiel à intégrer

$$\frac{dF(r)}{dr} = \mathcal{M}(r)F(r) \text{ avec } F(r) = \begin{pmatrix} [E_\theta] \\ [E_z] \\ [H_\theta] \\ [H_z] \end{pmatrix}$$



Après intégration numérique à travers la zone modulée

Matrice de transmission "T" de la zone modulée

$$U = TV \text{ avec } \begin{cases} U : \text{Coefficient de Fourier des champs} \\ \text{dans la région homogène extérieure} \\ V : \text{Coefficient de Fourier des champs} \\ \text{dans la région homogène intérieure} \end{cases}$$

La méthode FFF

Problématique

Description des relations constitutives des milieux dans l'espace de Fourier

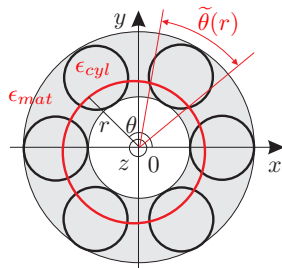
La méthode FFF

Problématique

Description des relations constitutives des milieux dans l'espace de Fourier

- Dans la **zone modulée** :

$$\vec{D}(r, \theta, z) = \epsilon(r, \theta) \vec{E}(r, \theta, z)$$



La méthode FFF

Problématique

Description des relations constitutives des milieux dans l'espace de Fourier

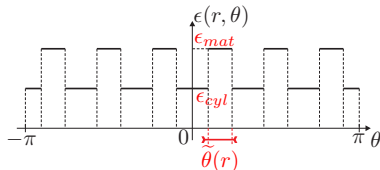
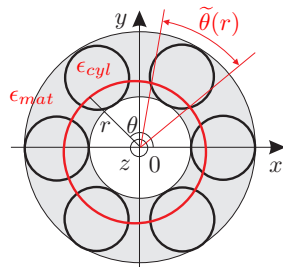
- Dans la **zone modulée** :

$$\vec{D}(r, \theta, z) = \epsilon(r, \theta) \vec{E}(r, \theta, z)$$

- $\epsilon(r, \theta)$ est la fonction permittivité, **périodique selon θ** (fonction créneau)

⇒ **Développable en série de Fourier** selon θ :

$$\epsilon(r, \theta) = \sum_{n=-\infty}^{+\infty} \epsilon_n(r) e^{in\theta}$$



$$\vec{D}(r, \theta, z) = \epsilon(r, \theta) \vec{E}(r, \theta, z)$$

- Développements de Fourier de $\begin{cases} \vec{D}(r, \theta, z) \\ \vec{E}(r, \theta, z) \end{cases}$
- Développement de Fourier de $\epsilon(r, \theta)$

$$\vec{D}(r, \theta, z) = \epsilon(r, \theta) \vec{E}(r, \theta, z)$$

- Développements de Fourier de $\begin{cases} \vec{D}(r, \theta, z) \\ \vec{E}(r, \theta, z) \end{cases}$
- Développement de Fourier de $\epsilon(r, \theta)$

Question :

Comment calculer les coefficients de Fourier de \vec{D} en fonction de ceux de ϵ et de \vec{E} ?

$$\vec{D}(r, \theta, z) = \epsilon(r, \theta) \vec{E}(r, \theta, z)$$

- Développements de Fourier de $\begin{cases} \vec{D}(r, \theta, z) \\ \vec{E}(r, \theta, z) \end{cases}$
- Développement de Fourier de $\epsilon(r, \theta)$

Question :

Comment calculer les coefficients de Fourier de \vec{D} en fonction de ceux de ϵ et de \vec{E} ?

Réponse :

Pour les séries, **règle de factorisation de Laurent** (règle directe)

$$[\vec{D}] = [\epsilon] [\vec{E}]$$

utilisée dans la **Méthode Différentielle Classique**

👉 Notation : $[\epsilon] = \begin{pmatrix} \vdots & & \\ \epsilon_{n-m} & \dots & \end{pmatrix}$: Matrice de Toeplitz

MAIS application numérique de la méthode

⇒ **Troncature** des développements de Fourier

$$U(r, \theta, z, t) = e^{i(\beta z - \omega t)} \sum_{n=-N}^{+N} U_n(r) e^{in\theta}$$

MAIS application numérique de la méthode
⇒ **Troncature** des développements de Fourier

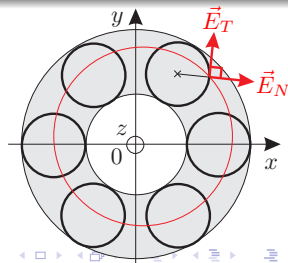
$$U(r, \theta, z, t) = e^{i(\beta z - \omega t)} \sum_{n=-N}^{+N} U_n(r) e^{in\theta}$$

Validité de la règle directe ?

- **L. Li (1996) : Nouvelles règles de factorisation** qui s'appliquent à \vec{E}_T et \vec{E}_N
- **Règle directe** : $[\vec{D}_T] = [\epsilon] [\vec{E}_T]$
- **Règle inverse** : $[\vec{D}_N] = \left[\frac{1}{\epsilon} \right]^{-1} [\vec{E}_N]$

Problème

- \vec{E}_T et \vec{E}_N définies seulement sur la surface !
- **Solution** : Extension en tout point de la zone modulée



Méthode FFF

Expression de $\begin{bmatrix} \vec{E}_T \end{bmatrix}$ et $\begin{bmatrix} \vec{E}_N \end{bmatrix}$ en fonction de $\begin{bmatrix} \vec{E} \end{bmatrix}$

$$\Rightarrow \begin{bmatrix} \vec{D} \end{bmatrix} = Q_\epsilon \begin{bmatrix} \vec{E} \end{bmatrix}$$

où

$$Q_\epsilon = \begin{pmatrix} \begin{bmatrix} \epsilon \end{bmatrix} \begin{bmatrix} N_\theta^2 \end{bmatrix} + \begin{bmatrix} \frac{1}{\epsilon} \end{bmatrix}^{-1} \begin{bmatrix} N_r^2 \end{bmatrix} & - \left(\begin{bmatrix} \epsilon \end{bmatrix} - \begin{bmatrix} \frac{1}{\epsilon} \end{bmatrix}^{-1} \right) \begin{bmatrix} N_r N_\theta \end{bmatrix} & 0 \\ - \left(\begin{bmatrix} \epsilon \end{bmatrix} - \begin{bmatrix} \frac{1}{\epsilon} \end{bmatrix}^{-1} \right) \begin{bmatrix} N_\theta N_r \end{bmatrix} & \begin{bmatrix} \epsilon \end{bmatrix} \begin{bmatrix} N_r^2 \end{bmatrix} + \begin{bmatrix} \frac{1}{\epsilon} \end{bmatrix}^{-1} \begin{bmatrix} N_\theta^2 \end{bmatrix} & 0 \\ 0 & 0 & \begin{bmatrix} \epsilon \end{bmatrix} \end{pmatrix}$$

Méthode FFF

Expression de $[\vec{E}_T]$ et $[\vec{E}_N]$ en fonction de $[\vec{E}]$

$$\Rightarrow [\vec{D}] = Q_\epsilon [\vec{E}]$$

où

$$Q_\epsilon = \begin{pmatrix} [\epsilon][N_\theta^2] + [\frac{1}{\epsilon}]^{-1}[N_r^2] & -([\epsilon] - [\frac{1}{\epsilon}]^{-1})[N_r N_\theta] & 0 \\ -([\epsilon] - [\frac{1}{\epsilon}]^{-1})[N_\theta N_r] & [\epsilon][N_r^2] + [\frac{1}{\epsilon}]^{-1}[N_\theta^2] & 0 \\ 0 & 0 & [\epsilon] \end{pmatrix}$$

Obtention du système différentiel

$$\left. \begin{array}{l} [\vec{D}] = Q_\epsilon [\vec{E}] \\ + \\ \text{Equations de Maxwell} \end{array} \right\} \Rightarrow \frac{dF(r)}{dr} = \mathcal{M}(r)F(r)$$

Algorithme S

Origine des problèmes numériques

- **Coordonnées cartésiennes** : Croissance des fonctions exponentielles
- **Coordonnées cylindriques ?** → Fonctions de Hankel

Algorithme S

Origine des problèmes numériques

- **Coordonnées cartésiennes** : Croissance des fonctions exponentielles
- **Coordonnées cylindriques ?** → Fonctions de Hankel

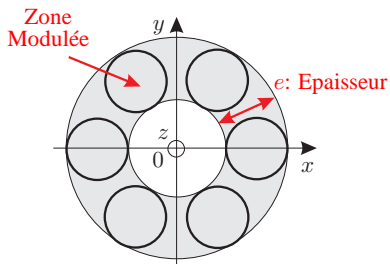
Lors de l'intégration

si e trop grand

⇒ Divergence de certains éléments de la matrice T

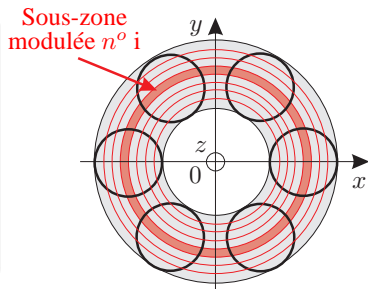
⇒ Pertes de digits

⇒ Contaminations numériques



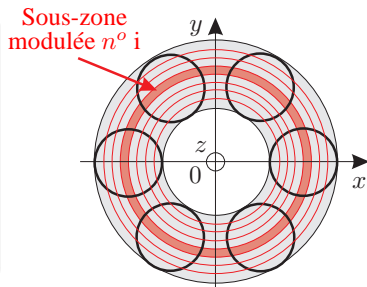
Principe de l'algorithme S

- Subdivision de la zone modulée en **sous-zones modulées**



Principe de l'algorithme S

- ☞ Subdivision de la zone modulée en **sous-zones modulées**
- ☞ Pour la sous-zone modulée $n^o i$:
 - 1 **Intégration** :
Arrêt avant contaminations numériques
⇒ matrice $T^{(i)}$ bien conditionnée
 - 2 **Calcul itératif** : $S^{(i)} = f(S^{(i-1)}, T^{(i)})$
dont les éléments sont bornés



Après propagation des matrices $S^{(i)}$ à travers la zone modulée

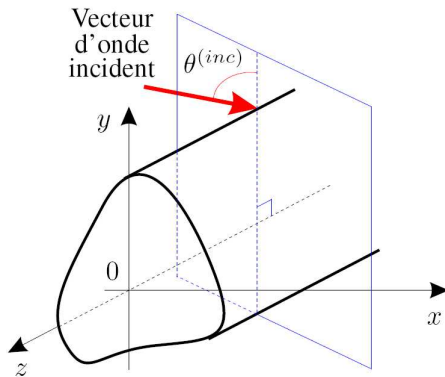
Matrice de diffraction "S" de la zone modulée :

$$B = SA \quad \text{avec} \quad \begin{cases} B : \text{Coefficient de Fourier des champs diffractés} \\ A : \text{Coefficient de Fourier des champs incidents} \end{cases}$$

Validation de l'implémentation de la Méthode Différentielle

Modélisation de la **diffraction d'une onde plane** par un objet cylindrique de **section arbitraire**

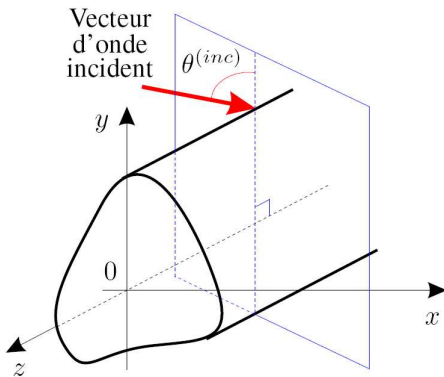
- 1 en polarisation TM : $\theta^{(inc)} = 0$



Validation de l'implémentation de la Méthode Différentielle

Modélisation de la **diffraction d'une onde plane** par un objet cylindrique de **section arbitraire**

- 1 en polarisation TM : $\theta^{(inc)} = 0$
- 2 en diffraction conique : $\theta^{(inc)} \neq 0$



Le problème de recherche de modes

Expression des champs électromagnétiques recherchés

$$U(r, \theta, z, t) = e^{i(\beta z - \omega t)} \sum_{n=-N}^{+N} U_n(r) e^{in\theta}$$

β : constante de propagation $\Rightarrow n_{eff} = \frac{\beta}{k_0}$: indice effectif

Le problème de recherche de modes

Expression des champs électromagnétiques recherchés

$$U(r, \theta, z, t) = e^{i(\beta z - \omega t)} \sum_{n=-N}^{+N} U_n(r) e^{in\theta}$$

β : constante de propagation $\Rightarrow n_{eff} = \frac{\beta}{k_0}$: indice effectif

Définition d'un mode dans la méthode différentielle

Champs "diffractés" en l'absence de champ incident

☞ Dans $B = SA$, recherche de $B \neq 0$ tel que $A = 0$

Le problème de recherche de modes

Expression des champs électromagnétiques recherchés

$$U(r, \theta, z, t) = e^{i(\beta z - \omega t)} \sum_{n=-N}^{+N} U_n(r) e^{in\theta}$$

β : constante de propagation $\Rightarrow n_{eff} = \frac{\beta}{k_0}$: indice effectif

Définition d'un mode dans la méthode différentielle

Champs "diffractés" en l'absence de champ incident

☞ Dans $B = SA$, recherche de $B \neq 0$ tel que $A = 0$

Problème homogène

$$S^{-1}B = 0$$

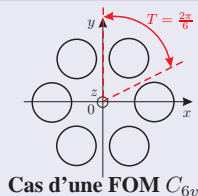
- 1 Recherche de n_{eff} solution de $\det(S^{-1}) = 0$ (valeur propre nulle de S^{-1})
- 2 Calcul de B : vecteur propre de S^{-1} évaluée en n_{eff}

Prise en compte des symétries

Symétries opto-géométriques

FOMs de symétrie C_{nv} avec $n \in \mathbb{N}$

- ☞ Sous-périodicité en θ d'ordre n : $T = \frac{2\pi}{n}$
- ☞ Nombre de plans de symétrie : n

Symétries des modes d'une FOM C_{6v} Classification des modes en **classes de symétrie**

Notation des modes :

$$\Rightarrow C_m - u \text{ où } \begin{cases} m \in \mathbb{N} \\ u \in \mathbb{N} \end{cases}$$

Remarque :

- ☞ Certaines classes de symétrie sont **dégénérées**

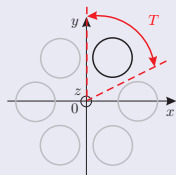
Classes de symétrie	Modes
C1	C1-1, C1-2,...
C2	C2-1, C2-2,...
C3 } C3/4	C3/4-1 , C3/4-2,...
C4 }	
C5 } C5/6	C5/6-1, C5/6-2,...
C6 }	
C7	C7-1, C7-2,...
C8	C8-1, C8-2,...

Conséquences dans la méthode différentielle

$$S^{-1}B = 0 \begin{cases} \rightarrow S_1^{-1}B_1 = 0 \\ \rightarrow S_2^{-1}B_2 = 0 \\ \vdots \\ \rightarrow S_n^{-1}B_n = 0 \end{cases} \rightarrow \text{1 Mode}$$

Symétries opto-géométriques C_{nv}

- ☞ Grandeurs opto-géométriques (ϵ, \vec{N}) :
Développements de Fourier sur la période T
- ☞ Découplage des coefficients de Fourier des champs en n sous-ensembles



Symétries des modes d'une FOM classique

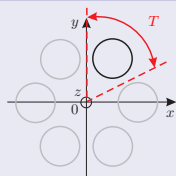
Un mode est décrit par 1 voire 2 (cas dégénéré) sous-ensembles

Conséquences dans la méthode différentielle

$$S^{-1}B = 0 \begin{cases} \rightarrow S_1^{-1}B_1 = 0 \\ \rightarrow S_2^{-1}B_2 = 0 \\ \vdots \\ \rightarrow S_n^{-1}B_n = 0 \end{cases} \rightarrow \text{1 Mode}$$

Symétries opto-géométriques C_{nv}

- ☞ Grandeurs opto-géométriques (ϵ, \vec{N}) :
Développements de Fourier sur la période T
- ☞ Découplage des coefficients de Fourier des champs en n sous-ensembles



Symétries des modes d'une FOM classique

Un mode est décrit par 1 voire 2 (cas dégénéré) sous-ensembles

- ☞ Réduction du temps de calcul d'un facteur n^2

Table des matières

- 1 Introduction
 - La méthode différentielle
 - Les fibres optiques microstructurées
- 2 La Méthode Différentielle en coordonnées cylindriques
 - Principe de la méthode différentielle
 - La méthode de la Factorisation de Fourier rapide
 - L'algorithme de propagation de la matrice S
 - Le problème de recherche de modes
- 3 Application numérique pour l'étude des FOMs
 - Validation
 - Etude de FOMs de type ARROW
- 4 Conclusion

Tests de validation

Validation par comparaison avec la **Méthode Multipolaire (MM)**

FOM considérée

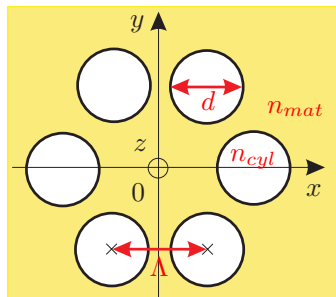
FOM classique : $n_{cyl} < n_{mat}$

Symétrie : C_{6v}

Inclusions : circulaires, homogènes et isotropes

Paramètres

- $\lambda = 1.55 \mu m$
 - $d = 1 \mu m$
 - $\Lambda = 2.3 \mu m$
- $$\left. \begin{array}{l} d = 1 \mu m \\ \Lambda = 2.3 \mu m \end{array} \right\} \frac{d}{\Lambda} = 0.435$$
- $\begin{cases} n_{cyl} = 1 \text{ (air)} \\ n_{mat} = 1.4439 \text{ (silice)} \end{cases}$



Tests de validation

Validation par comparaison avec la **Méthode Multipolaire (MM)**

FOM considérée

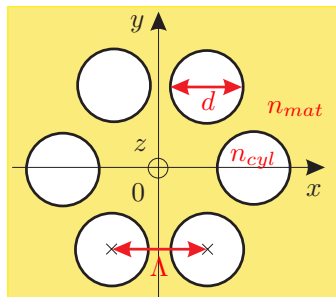
FOM classique : $n_{cyl} < n_{mat}$

Symétrie : C_{6v}

Inclusions : circulaires, homogènes et isotropes

Paramètres

- $\lambda = 1.55 \mu\text{m}$
 - $d = 1 \mu\text{m}$
 - $\Lambda = 2.3 \mu\text{m}$
- $$\left. \begin{array}{l} d = 1 \mu\text{m} \\ \Lambda = 2.3 \mu\text{m} \end{array} \right\} \frac{d}{\Lambda} = 0.435$$
- $\begin{cases} n_{cyl} = 1 \text{ (air)} \\ n_{mat} = 1.4439 \text{ (silice)} \end{cases}$



Matrice infinie

Modes à pertes $\Rightarrow n_{eff} \in \mathbb{C}$

Pertes : $\Im m(n_{eff})$

Mode fondamental

Définition : $\Re e(n_{eff})$ la plus élevée et $\Im m(n_{eff})$ la plus basse

→ Premier mode de la classe de symétrie $C3/4$: $C3/4-1$

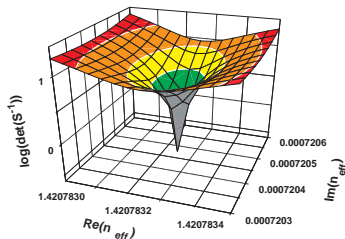
Mode fondamental

Définition : $\Re(n_{eff})$ la plus élevée et $\Im(n_{eff})$ la plus basse

☞ Premier mode de la classe de symétrie C3/4 : C3/4-1

Recherche de n_{eff}

- Recherche d'un **minima** de $\log [\det(S^{-1})]$ dans le **plan complexe** de n_{eff}
- Valeur trouvée pour $N = 90$:
 $n_{eff} = 1.42078315 + i7.2046510^{-4}$



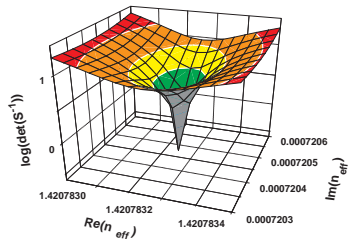
Mode fondamental

Définition : $\Re(n_{eff})$ la plus élevée et $\Im(n_{eff})$ la plus basse

☞ Premier mode de la classe de symétrie C3/4 : C3/4-1

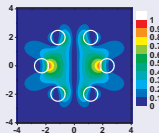
Recherche de n_{eff}

- Recherche d'un **minima de $\log[\det(S^{-1})]$** dans le **plan complexe de n_{eff}**
- Valeur trouvée pour $N = 90$:
 $n_{eff} = 1.42078315 + i7.2046510^{-4}$

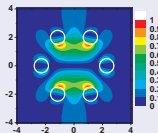


Cartes de champs du mode C3-1

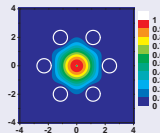
Carte de $|E_z|$



Carte de $|H_z|$

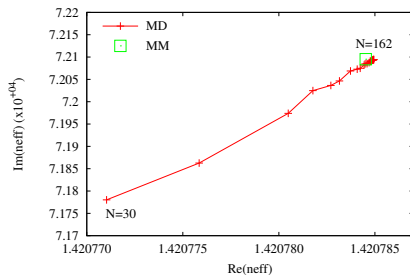


Carte de $|P_z|$

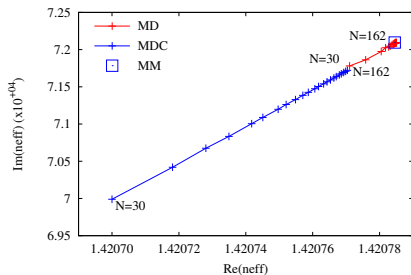


Convergence selon l'ordre de troncature des développements

Comparaison entre la MD et la MM



Comparaison entre la MD et la MDC



Ecart relatifs entre la MD et la MM

N	$\Re e(n_{\text{eff}})$	$\Im m(n_{\text{eff}})$
60	$9 \cdot 10^{-7}$	$7 \cdot 10^{-4}$
162	$3 \cdot 10^{-7}$	$1 \cdot 10^{-5}$

Dispersion modale

➡ Dispersion modale = Evolution des **grandeurs caractéristiques des modes** (n_{eff} , D , ...) en fonction de λ

Dispersion modale

- ➡ Dispersion modale = Evolution des **grandeurs caractéristiques des modes** (n_{eff} , D , ...) en fonction de λ
- ➡ Coefficient de dispersion chromatique :

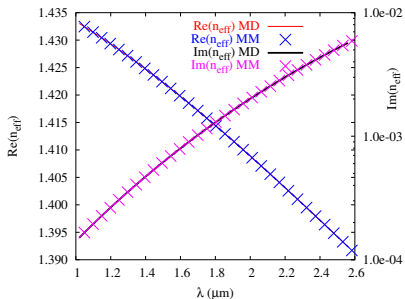
$$D(\lambda) = -\frac{\lambda}{c} \frac{\partial^2 \Re(n_{eff})}{\partial \lambda^2}$$

Dispersion modale

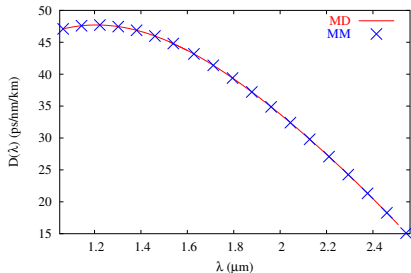
- Dispersion modale = Evolution des **grandeurs caractéristiques des modes** (n_{eff} , D , ...) en fonction de λ
- Coefficient de dispersion chromatique :

$$D(\lambda) = -\frac{\lambda}{c} \frac{\partial^2 \Re(n_{eff})}{\partial \lambda^2}$$

$\Re(n_{eff})$ et $\Im(n_{eff})$ en fonction de λ



D en fonction de λ



Autres configurations

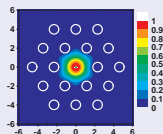
2 couches d'inclusions ($N = 150$)

$$n_{eff} = 1.42103608 + i2.37984 \cdot 10^{-5}$$

Ecart relatifs/MM

- $\Re(n_{eff}) : 1.3 \cdot 10^{-8}$
- $\Im(n_{eff}) : 3.6 \cdot 10^{-4}$

Carte de $|P_z|$



Autres configurations

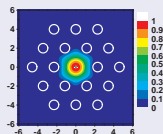
2 couches d'inclusions ($N = 150$)

$$n_{eff} = 1.42103608 + i2.37984 \cdot 10^{-5}$$

Ecarts relatifs/MM

- $\Re(n_{eff}) : 1.3 \cdot 10^{-8}$
- $\Im(n_{eff}) : 3.6 \cdot 10^{-4}$

Carte de $|P_z|$



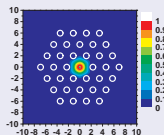
3 couches d'inclusions ($N = 150$)

$$n_{eff} = 1.42104651 + i8.104 \cdot 10^{-7}$$

Ecarts relatifs/MM

- $\Re(n_{eff}) : 1.1 \cdot 10^{-8}$
- $\Im(n_{eff}) : 1.7 \cdot 10^{-3}$

Carte de $|P_z|$



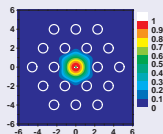
Autres configurations

2 couches d'inclusions ($N = 150$)

$$n_{eff} = 1.42103608 + i2.37984 \cdot 10^{-5}$$

Ecart relatifs/MM

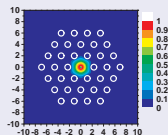
- $\Re(n_{eff}) : 1.3 \cdot 10^{-8}$
- $\Im(n_{eff}) : 3.6 \cdot 10^{-4}$

Carte de $|P_z|$ 3 couches d'inclusions ($N = 150$)

$$n_{eff} = 1.42104651 + i8.104 \cdot 10^{-7}$$

Ecart relatifs/MM

- $\Re(n_{eff}) : 1.1 \cdot 10^{-8}$
- $\Im(n_{eff}) : 1.7 \cdot 10^{-3}$

Carte de $|P_z|$ 

Précision qui diminue avec le nombre de couche :

- Faible valeur de $\Im(n_{eff})$
- Zone modulée plus épaisse \rightarrow Intégration plus longue

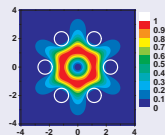
Autres modes : C2-1 pour la FOM C_{6v} ($N = 162$)

$$n_{eff} = 1.38733229 + i4.22772 \cdot 10^{-3}$$

Ecarts relatifs/MM

- $\Re(n_{eff}) : 7.8 \cdot 10^{-7}$
- $\Im(n_{eff}) : 3.0 \cdot 10^{-5}$

Carte de $|P_z|$



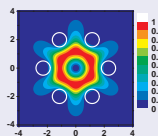
Autres modes : C2-1 pour la FOM C_{6v} ($N = 162$)

$$n_{eff} = 1.38733229 + i4.22772 \cdot 10^{-3}$$

Ecarts relatifs/MM

- $\Re(n_{eff}) : 7.8 \cdot 10^{-7}$
- $\Im(n_{eff}) : 3.0 \cdot 10^{-5}$

Carte de $|P_z|$



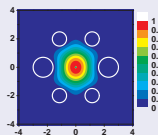
Autres symétries opto-géométriques : C_{2v} pour le mode C3-1 ($N = 60$)

$$n_{eff} = 1.4179222 + i5.1110 \cdot 10^{-4}$$

Ecarts relatifs/MM

- $\Re(n_{eff}) : 3.0 \cdot 10^{-6}$
- $\Im(n_{eff}) : 7.0 \cdot 10^{-4}$

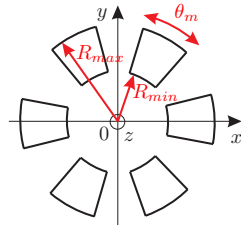
Carte de $|P_z|$



FOM classique C_{6v} à inclusions sectorielles

Paramètres opto-géométriques

- Rayon minimal : R_{min}
- Rayon maximal : R_{max}
- Angle d'ouverture : θ_m



FOM équivalente à la FOM à inclusions circulaires

☞ Aire d'une inclusion sectorielle = Aire d'inclusion circulaire

☞ Applications numériques :

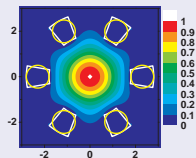
$$R_{min} = 1.8 \mu m$$

$$R_{max} = 2.8 \mu m$$

$$\theta_m = 19.57^\circ$$

☞ Résultats :

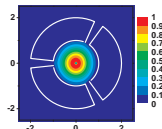
$n_{eff} = 1.42050791 + i7.64101 \cdot 10^{-4}$ pour le mode fondamental $C3/4-1$

Carte de $|P_z|$ 

FOM C_{3v} à inclusions sectorielles

Paramètres

- $\lambda = 1.55\mu m$
- $\theta_m = 54^\circ$
- $R_{min} = 1\mu m$
- $n_{cyl} = 1.44402362$
- $R_{max} = 2\mu m$
- $n_{mat} = 1$

Carte de $|P_z|$ 

Comparaison entre la MD et la MEF

	C3-1	C2-1
n_{eff} MEF	$1.35580 + i4.95 \cdot 10^{-5}$	$1.23950 + i5.67 \cdot 10^{-4}$
n_{eff} MD $N = 60$	$1.3558867 + i5.012 \cdot 10^{-5}$	$1.239615 + i5.138 \cdot 10^{-4}$
n_{eff} MD $N = 150$	$1.3558863 + i5.011 \cdot 10^{-5}$	$1.239619 + i5.140 \cdot 10^{-4}$

Conclusion : La MD est plus précise que la MEF

Méthodes numériques de modélisation des FOMs

Méthodes numériques **rigoureuses** capables de **calculer avec précision les pertes**

Méthodes numériques de modélisation des FOMs

Méthodes numériques **rigoureuses** capables de **calculer avec précision les pertes**

Méthode Multipolaire (MM)

Temps de calcul :

Très faibles

Précision :

Très élevée

Avantages :

1. Calculs semi-analytiques
2. Nombre de couches d'inclusions élevé

Limitations :

1. Inclusions circulaires
2. Milieux homogènes et isotropes

Méthodes numériques de modélisation des FOMs

Méthodes numériques **rigoureuses** capables de **calculer avec précision les pertes**

Méthode Multipolaire (MM)

Temps de calcul :

Très faibles

Précision :

Très élevée

Avantages :

1. Calculs semi-analytiques
2. Nombre de couches d'inclusions élevé

Limitations :

1. Inclusions circulaires
2. Milieux homogènes et isotropes

Méthode des éléments finis (MEF)

Temps de calcul :

> MM

Précision :

< MM

Avantages :

1. Géométrie arbitraire
2. Milieux inhomogènes et anisotropes

Limitations :

1. Pertes : précision moyenne
2. Modes à pertes \Rightarrow PML
3. Nombre de couches d'inclusions
4. Grosses matrices creuses

Méthodes numériques de modélisation des FOMs

Méthodes numériques **rigoureuses** capables de **calculer avec précision les pertes**

Méthode Multipolaire (MM)

Temps de calcul :

Très faibles

Précision :

Très élevée

Avantages :

1. Calculs semi-analytiques
2. Nombre de couches d'inclusions élevé

Limitations :

1. Inclusions circulaires
2. Milieux homogènes et isotropes

Méthode des éléments finis (MEF)

Temps de calcul :

> MM

Précision :

< MM

Avantages :

1. Géométrie arbitraire
2. Milieux inhomogènes et anisotropes

Limitations :

1. Pertes : précision moyenne
2. Modes à pertes \Rightarrow PML
3. Nombre de couches d'inclusions
4. Grosses matrices creuses

Méthode différentielle (MD)

Temps de calcul :

\approx MEF > MM

Précision :

> MEF mais < MM

Avantages :

1. Géométrie arbitraire
2. Milieux inhomogènes et anisotropes
3. Pertes : bonne précision

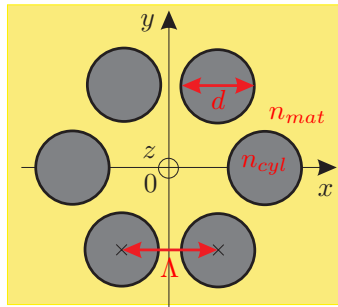
Limitations :

1. Nombre de couches d'inclusions
2. Intégration numérique

FOM de type "AntiResonant Reflecting Optical Waveguide" (ARROW)

Comparaison avec les FOMs classiques

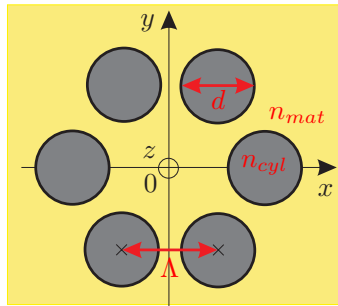
- **Symétrie identique** : C_{nv} , $n \in \mathbb{N}$
- **Géométrie identique** : Inclusions circulaires
- **Constraste d'indice inversé entre la matrice et les inclusions** : $n_{cyl} > n_{mat}$



FOM de type "AntiResonant Reflecting Optical Waveguide" (ARROW)

Comparaison avec les FOMs classiques

- **Symétrie identique** : C_{nv} , $n \in \mathbb{N}$
- **Géométrie identique** : Inclusions circulaires
- **Constraste d'indice inversé entre la matrice et les inclusions** : $n_{cyl} > n_{mat}$

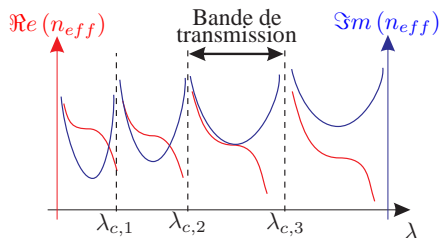


Conséquences

- ☞ 1 inclusion \approx 1 fibre optique conventionnelle à saut d'indice (cas de milieux homogènes)

Effets de **résonance** entre les **modes des FOMs** et les **modes des inclusions**

Effet de bandes de transmission



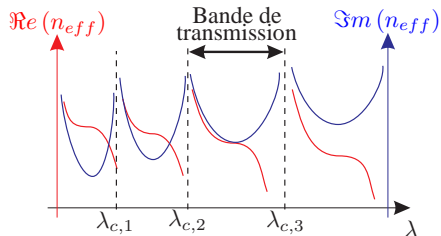
$\Re(n_{eff})$ et $\Im(n_{eff})$ en fonction de λ
pour le mode fondamental C3/4

Effet de bandes de transmission

Première interprétation

Attribution des **bords des bandes de transmission** aux **coupures des modes (guidés) des inclusions isolées**

$(\lambda_{c,1}, \lambda_{c,2}, \lambda_{c,3}, \dots)$

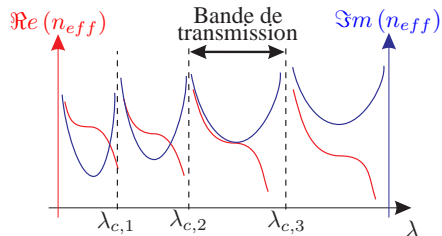


$\Re(n_{eff})$ et $\Im(n_{eff})$ en fonction de λ
pour le mode fondamental C3/4

Effet de bandes de transmission

Première interprétation

Attribution des **bords des bandes de transmission** aux **coupures des modes (guidés) des inclusions isolées** ($\lambda_{c,1}, \lambda_{c,2}, \lambda_{c,3}, \dots$)



$\Re(n_{eff})$ et $\Im(n_{eff})$ en fonction de λ
pour le mode fondamental C3/4

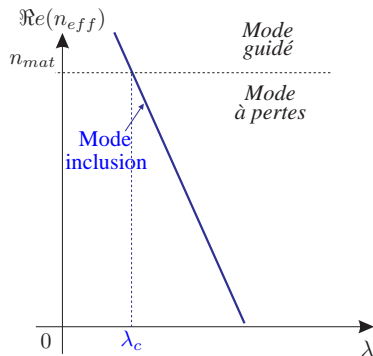
Nouvelle interprétation

- *Observations* : petites irrégularités des courbes aux bords des bandes de transmission
- Mise en évidence d'**anti-croisements** entre des **modes à pertes** de la FOM et des inclusions

Anti-croisement de modes à pertes

Intersection entre les courbes de dispersion

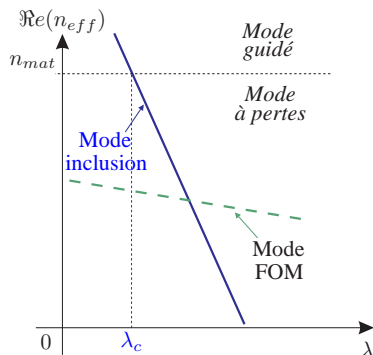
- d'un mode à pertes d'une seule inclusion (bleu)



Anti-croisement de modes à pertes

Intersection entre les courbes de dispersion

- d'un mode à pertes d'une seule inclusion (bleu)
- d'un mode à pertes de la FOM (courbe hypothétique en vert)



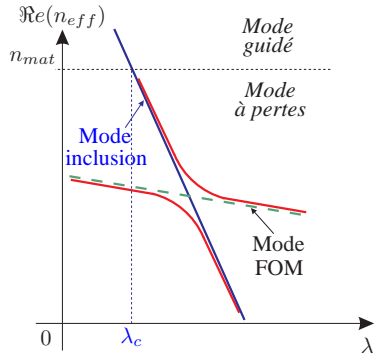
Anti-croisement de modes à pertes

Intersection entre les courbes de dispersion

- d'un mode à pertes d'une seule inclusion (bleu)
- d'un mode à pertes de la FOM (courbe hypothétique en vert)

Mais

Les résultats numériques montrent **un anti-croisement** pour le mode à pertes de la FOM (rouge)



☞ Anti-croisement de modes à pertes : Effet **sélectif en longueur d'onde**

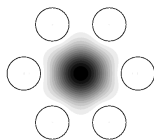
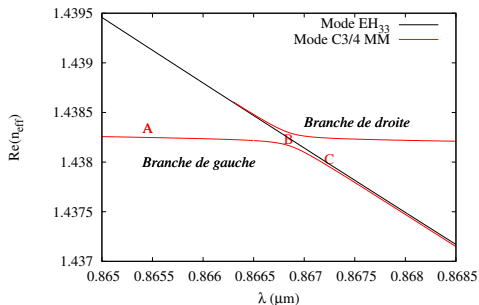
Transition de délocalisation du mode fondamental vers les inclusions

FOM à inclusions homogènes

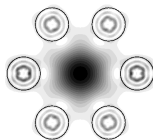
- $d = 3.315 \mu\text{m}$
- $\Lambda = 5.64 \mu\text{m}$
- $n_{\text{mat}} = 1.44$
- $n_{\text{cyl}} = 1.8$

Anti-croisement entre

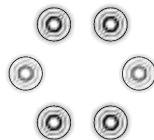
- le mode fondamental C3/4 de la FOM
- le mode à pertes EH_{33} d'une inclusion



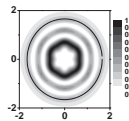
Point A



Point B



Point C

Mode EH_{33}

FOM de type ARROW à inclusions inhomogènes

Objectif : Vérifier expérimentalement l'existence de la transition de délocalisation du mode fondamental C3/4 de la FOM vers les inclusions

FOM fabriquée à l'IRCICA (Université de Lille I)

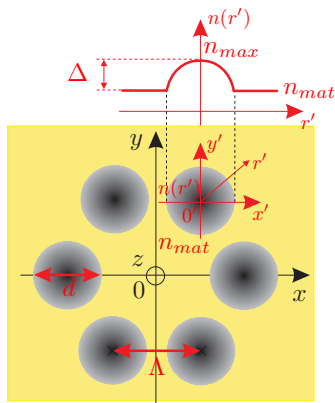
Caractéristiques :

- Inclusions à gradient d'indice (profil d'indice parabolique)
- Nombre de couches d'inclusions : 7
- Diamètre de la FOM (gaine) : $180 \mu\text{m}$

Paramètres opto-géométriques :

- $$\left. \begin{array}{l} d = 6.24 \mu\text{m} \\ \Lambda = 9.136 \mu\text{m} \end{array} \right\} \frac{d}{\Lambda} = 0.683$$
- $$\left. \begin{array}{l} n_{max} = 1.474 \\ n_{mat} = 1.444 \end{array} \right\} \Delta = 3. \cdot 10^{-2} \Rightarrow$$

Approximation du faible guidage (Modes LP)



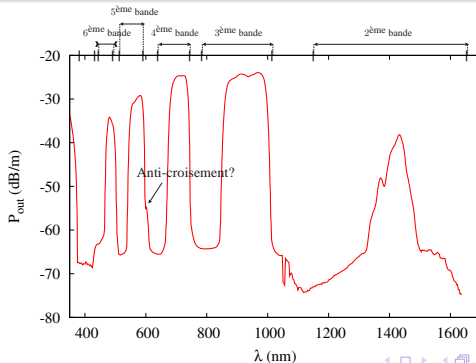
Mesures expérimentales

Spectre de puissance

➔ **Grandeur mesurée** : puissance (dB) de sortie du **cœur** de la FOM à inclusions inhomogènes en fonction de λ

➔ **Observations** :

- ① **Bandes de transmission**
- ② Maxima des bandes → **Modes confinés dans le cœur** (Mode fondamental)
- ③ Petites irrégularités sur les bords de bande → **Anti-croisements de mode** ?

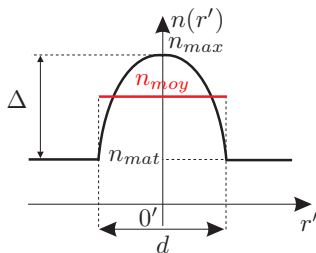


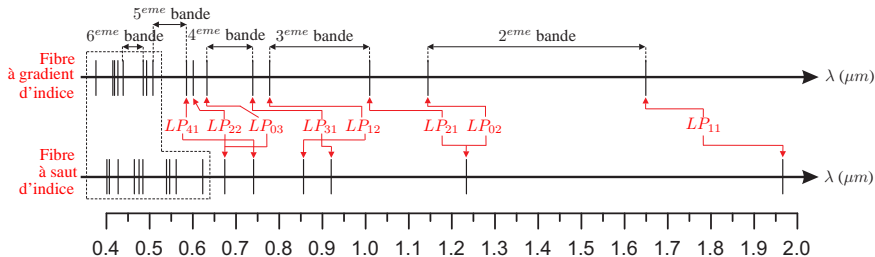
FOM à inclusions homogènes équivalentes ?

- FOM à inclusions **homogènes** équivalente à la FOM à inclusions **inhomogènes** ?
- **Problématique** : Conservation des propriétés de guidage des modes
→ **résonances avec les modes des inclusions**
- **Moyenne du profil d'indice** :

$$n_{cyl} = n_{moy} = n_{mat} + \frac{2}{3} \Delta$$

(profil parabolique)





Observations :

- Localisation et largeur différentes des bandes de transmission
- Bords des bandes : modes des inclusions différents

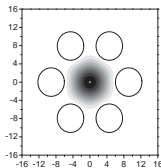
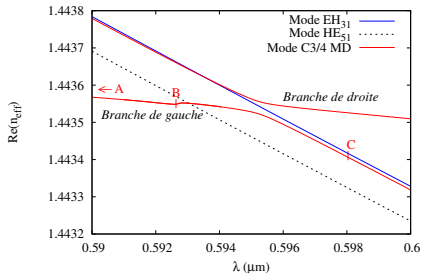
Conclusion : MM non adaptée MAIS MD OUI !

Résultats numériques obtenus avec la MD

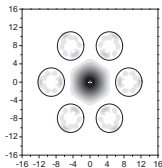
- ☞ **FOM modélisée** : à inclusions inhomogènes à une couche d'inclusions
- ☞ **Anti-croisement** : vers $\lambda = 0.595 \mu\text{m}$ (5^{ème} bande de transmission)

Anti-croisement entre

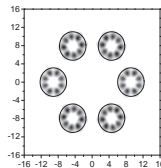
- le mode fondamental C3/4 de la FOM
- le mode à pertes EH_{31} (LP_{41}) d'une inclusion



Point A



Point B



Point C

Comparaison avec les mesures expérimentales

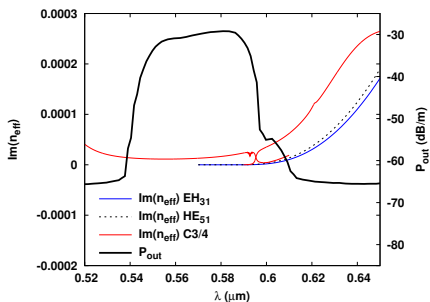
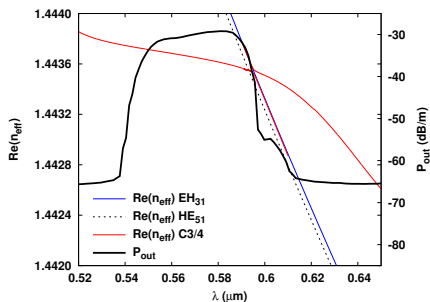


Table des matières

- 1 Introduction
 - La méthode différentielle
 - Les fibres optiques microstructurées
- 2 La Méthode Différentielle en coordonnées cylindriques
 - Principe de la méthode différentielle
 - La méthode de la Factorisation de Fourier rapide
 - L'algorithme de propagation de la matrice S
 - Le problème de recherche de modes
- 3 Application numérique pour l'étude des FOMs
 - Validation
 - Etude de FOMs de type ARROW
- 4 Conclusion

Conclusion

Implémentation de la MD en coordonnées cylindriques

- **Nouvelle version** : Méthode FFF + Algorithme S
- **Prise en compte des symétries opto-géométriques du cylindre et des symétries des modes**

⇒ **MD bien adaptée à l'étude des FOMs** :

Bonne précision sur n_{eff} , même pour plusieurs couches d'inclusions

Conclusion

Implémentation de la MD en coordonnées cylindriques

- **Nouvelle version** : Méthode FFF + Algorithme S
- **Prise en compte des symétries opto-géométriques du cylindre** et **des symétries des modes**

⇒ **MD bien adaptée à l'étude des FOMs** :

Bonne précision sur n_{eff} , même pour plusieurs couches d'inclusions

Résultats physiques

- Nouvelle interprétation du mécanisme de guidage dans les FOMs de type ARROW
- FOMs de type ARROW à inclusions inhomogènes : profil d'indice → nouveau degré de liberté

Conclusion

Implémentation de la MD en coordonnées cylindriques

- **Nouvelle version** : Méthode FFF + Algorithme S
- **Prise en compte des symétries opto-géométriques du cylindre** et **des symétries des modes**

⇒ **MD bien adaptée à l'étude des FOMs** :

Bonne précision sur n_{eff} , même pour plusieurs couches d'inclusions

Résultats physiques

- Nouvelle interprétation du mécanisme de guidage dans les FOMs de type ARROW
- FOMs de type ARROW à inclusions inhomogènes : profil d'indice → nouveau degré de liberté

Intérêt de la MD pour l'étude des FOMs

- **Géométries arbitraires** des inclusions des FOMs
- **Milieux inhomogènes** : étude des FOMs de type ARROW à gradient d'indice

Perspectives

Travaux en cours sur les FOMs de type ARROW

- **FOM de type ARROW à gradient d'indice** : prise en compte de la **dispersion matérielle** et du **nombre de couches d'inclusions**
- **Etude des interactions avec des modes de couplage**

Perspectives

Travaux en cours sur les FOMs de type ARROW

- **FOM de type ARROW à gradient d'indice** : prise en compte de la **dispersion matérielle** et du **nombre de couches d'inclusions**
- **Etude des interactions avec des modes de couplage**

Couplage Méthode Différentielle et Méthode Multipolaire

objectif : Exploiter les avantages de chaque méthode

- **Méthode différentielle** : Matrice S d'une inclusion de géométrie arbitraire et de milieux inhomogènes et anisotropes
- **Méthode Multipolaire** : Modes dans les FOMs à plusieurs couches d'inclusions

Perspectives

Travaux en cours sur les FOMs de type ARROW

- **FOM de type ARROW à gradient d'indice** : prise en compte de la **dispersion matérielle** et du **nombre de couches d'inclusions**
- **Etude des interactions avec des modes de couplage**

Couplage Méthode Différentielle et Méthode Multipolaire

objectif : Exploiter les avantages de chaque méthode

- **Méthode différentielle** : Matrice S d'une inclusion de géométrie arbitraire et de milieux inhomogènes et anisotropes
- **Méthode Multipolaire** : Modes dans les FOMs à plusieurs couches d'inclusions

Généralisation à d'autres géométries

- **Ajout d'une périodicité selon l'axe du cylindre**
- **Objets tridimensionnels** : ajout de PML

Perspectives

Travaux en cours sur les FOMs de type ARROW

- **FOM de type ARROW à gradient d'indice** : prise en compte de la **dispersion matérielle** et du **nombre de couches d'inclusions**
- **Etude des interactions avec des modes de couplage**

Couplage Méthode Différentielle et Méthode Multipolaire

objectif : Exploiter les avantages de chaque méthode

- **Méthode différentielle** : Matrice S d'une inclusion de géométrie arbitraire et de milieux inhomogènes et anisotropes
- **Méthode Multipolaire** : Modes dans les FOMs à plusieurs couches d'inclusions

Généralisation à d'autres géométries

- **Ajout d'une périodicité selon l'axe du cylindre**
- **Objets tridimensionnels** : ajout de PML

Généralisation à d'autres matériaux

- **Milieux anisotropes**
- **Milieux non linéaires**

Diffraction

Méthode différentielle

- ☞ P. Boyer, E. Popov, M. Nevière, and G. Tayeb. **Diffraction theory in TM polarization : application of the fast Fourier factorization method to cylindrical devices with arbitrary cross section** *J. Opt. Soc. Am. A* 21(11) : 2146-2153, 2004
- ☞ P. Boyer, E. Popov, M. Nevière, and G. Renversez. **Diffraction theory : Application of the fast Fourier factorization method to cylindrical devices with arbitrary cross section lighted in conical mounting** *J. Opt. Soc. Am. A* 23(5) : 1146-1158, 2006

Cylindre anisotrope

- ☞ M. Nevière, E. Popov and P. Boyer. **Diffraction theory of an anisotropic circular cylinder** *J. Opt. Soc. Am. A* 23(7) : 1731-1740, 2006

Fibres optiques

Fibres optiques microstructurées

- ☞ P. Boyer, G. Renversez, E. Popov and M. Nevière. **A new differential method applied to the study of arbitrary cross section microstructured optical fibers** *Opt. and Quantum Elect.* 38 : 217-230, 2006
- ☞ P. Boyer, G. Renversez, E. Popov and M. Nevière. **The fast Fourier factorisation method as a modal method for arbitrary profile microstructured optical fibers** *soumise au J. Opt. Soc. Am. B*
- ☞ P. Boyer, G. Renversez, E. Popov and M. Nevière. **The fast Fourier factorisation method applied to the study of arbitrary cross section microstructured optical fibers** *Proc. SPIE* 5840 : 409-420, 2005

Trou métallique

- ☞ E. Popov, M. Nevière, P. Boyer and N. Bonod. **Light transmission through a subwavelength hole.** *Opt. Comm.* 255 : 338-348, 2005

